

**ПОИСК РАВНОВЕСНЫХ СОСТОЯНИЙ МАШИНЫ АТВУДА
С ДВУМЯ КОЛЕБЛЮЩИМИСЯ ГРУЗАМИ С ПРИМЕНЕНИЕМ
КОМПЬЮТЕРНОЙ АЛГЕБРЫ**© 2021 г. А. Н. Прокопеня^{a,*}^a Варшавский университет естественных наук – SGGW,
Польша 02-776 Варшава, ул. Новоурсыновска, 159

*E-mail: alexander_prokopenya@sggw.pl

Поступила в редакцию 27.08.2020 г.

После доработки 02.09.2020 г.

Принята к публикации 12.09.2020 г.

Обсуждается проблема поиска равновесных состояний машины Атвуда, в которой шкив конечного радиуса заменяется двумя отдельными малыми шкивами и оба груза могут колебаться в вертикальной плоскости. Получены дифференциальные уравнения движения системы и вычислены их решения в виде степенных рядов по малому параметру. Показано, что в случае грузов одинаковой массы равновесное положение $r = \text{const}$ системы существует только при одинаковых амплитудах и частотах колебаний грузов и сдвиге фаз $\alpha = 0$ или $\alpha = \pi$. Кроме того, возможно состояние динамического равновесия, когда оба груза совершают колебания с одинаковыми амплитудами и частотами, а сдвиг фаз составляет $\alpha = \pm\pi/2$. При этом длины маятников также совершают колебания около некоторого равновесного значения. Сравнение полученных результатов с соответствующими численными решениями уравнений движения подтверждает их корректность. Все необходимые вычисления выполняются с помощью системы компьютерной алгебры Wolfram Mathematica.

DOI: 10.31857/S013234742101009X

1. ВВЕДЕНИЕ

Классическая машина Атвуда (см. [1]), в которой один из грузов может колебаться в вертикальной плоскости под действием силы тяжести, представляет собой консервативную механическую систему с двумя степенями свободы, которая была предметом исследования многих работ (см. [2–7]). Следует отметить, что учет колебаний груза приводит к значительному усложнению уравнений движения системы и их общее решение не может быть записано в символьной форме. Численное исследование уравнений движения показывает, что машина Атвуда с одним колеблющимся грузом демонстрирует весьма интересное поведение и может совершать различные виды движения, например, квазипериодическое и хаотическое движение (см. [3, 5, 7]).

Заметим, что колебания груза приводят к возрастанию средней силы натяжения нити, причем ее величина определяется амплитудой колебаний (см. [8]). Поэтому при небольшой разнице масс и соответствующей амплитуде колеблющийся груз меньшей массы может тянуть более тяжелый груз вверх, что невозможно в отсутствие колебаний. С другой стороны, при заданной разнице масс

можно выбрать такие начальные условия, при которых система будет находиться в состоянии динамического равновесия, когда груз большей массы уравновешивается колеблющимся грузом меньшей массы. В таком случае более тяжелый груз совершает поступательное движение и также колеблется около некоторого равновесного положения, а груз меньшей массы ведет себя как маятник, длина которого совершает малые колебания. При этом наблюдается резонанс частот вида 2 : 1, т.е. частота колебаний длины маятника в два раза превышает частоту колебаний угловой переменной. Соответствующее равновесное состояние системы описывается периодическим решением уравнений движения, построенным в [9].

Если оба груза имеют одинаковые массы ($m_1 = m_2$), то в отсутствие колебаний система может находиться в равновесии при любом положении грузов. Если же один из грузов совершает колебания, то равновесное состояние машины Атвуда не существует, поскольку колеблющийся груз будет двигаться вниз и тянуть второй груз вверх даже при малой амплитуде колебаний. Однако можно ожидать, что рассматриваемая система может находиться в состоянии динамического равновесия,

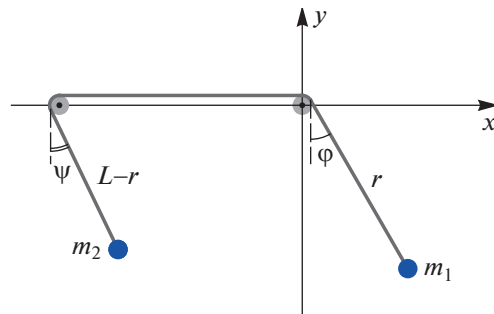


Рис. 1. Машина Атвуда с двумя колеблющимися грузами.

когда второй груз также совершает колебания. Численное решение уравнений движения машины Атвуда с двумя колеблющимися грузами показало, что такое состояние системы существует, если оба груза совершают синфазные колебания или колеблются в противофазе с одинаковыми амплитудами и частотами (см. [10]).

Целью данной работы является поиск решений уравнений движения машины Атвуда с двумя колеблющимися грузами одинаковой массы, определяющих состояния динамического равновесия системы, когда длина маятника r совершает малые колебания около некоторого равновесного значения, а также определение условий, при которых такие решения существуют. Поскольку уравнения движения системы существенно нелинейны и записать их точное решение не представляется возможным, будем искать приближенные решения в виде степенных рядов. Отметим, что построение и исследование таких решений обычно связано с выполнением весьма громоздких символьных вычислений, которые удобно выполнять с помощью систем компьютерной алгебры (см., напр., [11–15]). В данной работе для выполнения всех расчетов и визуализации полученных результатов используется система компьютерной алгебры *Wolfram Mathematica* [16].

2. УРАВНЕНИЯ ДВИЖЕНИЯ

Рассматривается машина Атвуда, в которой шкив конечного радиуса заменяется двумя отдельными малыми шкивами и оба груза могут колебаться в вертикальной плоскости (рис. 1). Такая модификация классической машины Атвуда (см. [1]) не изменяет ее физической природы, но позволяет исключить влияние размеров шкива и сосредоточиться на исследовании влияния колебаний на движение системы.

Рассматриваемая система имеет три степени свободы, а ее функция Лагранжа имеет вид

$$\mathcal{L} = \frac{m_1}{2}(\dot{r}^2 + r^2\dot{\phi}^2) + \frac{m_2}{2}(\dot{r}^2 + (L-r)^2\dot{\psi}^2) + m_1gr \cos \phi + m_2g(L-r) \cos \psi, \quad (2.1)$$

где точка над символом означает полную производную соответствующей функции по времени, g – ускорение свободного падения, r и $(L-r)$ – расстояния между шкивами и грузами m_1 и m_2 соответственно, а углы ϕ и ψ определяют отклонения грузов от вертикали (см. рис. 1). Выражение (2.1) записано в предположении, что радиусы шкивов пренебрежимо малы и изменением длины нити r и $(L-r)$ при колебаниях грузов за счет наматывания нити на шкив можно пренебречь.

Используя функцию Лагранжа (2.1) и выполняя дифференцирование с помощью встроенной функции *D* системы *Mathematica* (см. [16]), получаем уравнения движения в виде

$$r\ddot{\phi} = -g \sin \phi - 2\dot{r}\dot{\phi} \quad (2.2)$$

$$(L-r)\ddot{\psi} = -g \sin \psi + 2\dot{r}\dot{\psi}, \quad (2.3)$$

$$(m_1 + m_2)\ddot{r} = m_1g \cos \phi - m_2g \cos \psi + m_1r\dot{\phi}^2 - m_2(L-r)\dot{\psi}^2. \quad (2.4)$$

Для удобства дальнейших вычислений введем безразмерные переменные

$$r^*(t^*) = r(t)/R_0, \quad t^* = t\sqrt{g/R_0}, \quad (2.5)$$

где R_0 – длина нити r в положении равновесия $\phi = 0, \psi = 0$ в отсутствие колебаний при $m_1 = m_2$. Далее безразмерные переменные r^*, t^* будем обозначать обычным образом через r, t . Тогда уравнения движения (2.2)–(2.4) принимают вид

$$r\ddot{\phi} = -\sin \phi - 2\dot{r}\dot{\phi}, \quad (2.6)$$

$$(k-r)\ddot{\psi} = -\sin \psi + 2\dot{r}\dot{\psi}, \quad (2.7)$$

$$2\ddot{r} = \cos \phi - \cos \psi + r\dot{\phi}^2 - (k-r)\dot{\psi}^2, \quad (2.8)$$

где учтено равенство масс тел и введен параметр $k = L/R_0 > 1$.

Легко видеть, что при $r = \text{const}$ уравнения (2.6), (2.7) сводятся к двум независимым уравнениям колебаний математических маятников длиной r и $k - r$ соответственно:

$$\begin{aligned} \ddot{\varphi} + \frac{1}{r} \sin \varphi &= 0, \\ \ddot{\psi} + \frac{1}{k-r} \sin \psi &= 0. \end{aligned} \quad (2.9)$$

Уравнения (2.9) имеют равновесные решения $\varphi = 0$, $\psi = 0$, подстановка которых в уравнение (2.8) обращает его в тождество при $r = \text{const}$. Это ожидаемый результат, поскольку в отсутствие колебаний система может находиться в равновесии при любом значении $r = \text{const}$. Кроме того, уравнение (2.8) имеет решение $r = \text{const}$ и в случае ненулевых решений уравнений (2.9), которые выражаются через эллиптические функции (см., например, [17]), если выполняется условие $\varphi(t) = \pm\psi(t)$. Это возможно при $k = 2r$, когда оба маятника совершают нелинейные колебания одинаковой частоты и амплитуды (см. [10]), а их фазы совпадают ($\varphi(t) = \psi(t)$) или противоположны ($\varphi(t) = -\psi(t)$).

Однако система (2.6)–(2.8) может иметь и другие решения, которые описывают связанные колебания двух математических маятников переменной длины. Целью данной работы является поиск решений системы (2.6)–(2.8), описывающих состояния динамического равновесия, когда оба маятника совершают нелинейные колебания, а функция $r(t)$ совершает малые квазипериодические колебания около некоторого равновесного значения.

Отметим, что уравнения (2.6)–(2.8) являются нелинейными и существование квазипериодических движений грузов в окрестности состояний динамического равновесия, которыми мы интересуемся в данной работе, возможно только вследствие нелинейного взаимодействия между степенями свободы системы.

3. РЕШЕНИЯ УРАВНЕНИЙ ДВИЖЕНИЯ

Напомним, что колебания математического маятника приводят к увеличению средней силы натяжения нити, причем ее величина определяется амплитудой колебаний (см. [8]). Поскольку мы рассматриваем машину Атвуда с двумя колеблющимися грузами одинаковой массы, можно ожидать, что при одинаковых амплитудах колебаний система будет находиться в состоянии динамического равновесия, при котором переменные $r(t)$, $\varphi(t)$, $\psi(t)$ совершают малые колебания около некоторых равновесных значений и являются ква-

зипериодическими функциями времени. Поскольку уравнения движения (2.6)–(2.8) являются нелинейными, частоты колебаний маятников будут зависеть от амплитуд (см., например, [18]). Далее будем считать, что амплитуды колебаний грузов определяются параметром ε , который предполагается малым, но конечным. При $\varepsilon \rightarrow 0$, функции $r(t)$, $\varphi(t)$, $\psi(t)$ должны сводиться к равновесному решению $r = 1$, $\varphi = 0$, $\psi = 0$.

Для удобства вычислений произведем замену переменных

$$\begin{aligned} r(t) &\rightarrow 1 + \varepsilon r(t), \\ \varphi(t) &\rightarrow \sqrt{\varepsilon} \varphi(t), \quad \psi(t) \rightarrow \sqrt{\varepsilon} \psi(t), \end{aligned} \quad (3.1)$$

и будем предполагать, что $r(t)$, $\varphi(t)$, $\psi(t)$ являются ограниченными осциллирующими функциями. Подставляя (3.1) в (2.6)–(2.8) и заменяя тригонометрические функции их разложениями в степенные ряды с точностью до пятого порядка включительно, перепишем уравнения движения в виде, удобном для применения теории возмущений (см. [18, 19]):

$$\ddot{\varphi} + \varphi = -\varepsilon \left(r \ddot{\varphi} + 2\dot{r} \dot{\varphi} - \frac{1}{6} \varphi^3 \right) - \frac{\varepsilon^2}{120} \varphi^5, \quad (3.2)$$

$$(k-1) \ddot{\psi} + \psi = \varepsilon \left(r \ddot{\psi} + 2\dot{r} \dot{\psi} + \frac{1}{6} \psi^3 \right) - \frac{\varepsilon^2}{120} \psi^5, \quad (3.3)$$

$$\begin{aligned} \ddot{r} &= -\frac{1}{4} (\varphi^2 - \psi^2) + \frac{1}{2} \dot{\varphi}^2 - \frac{1}{2} (k-1) \dot{\psi}^2 + \\ &+ \frac{\varepsilon}{2} \left(r (\varphi^2 + \psi^2) + \frac{1}{24} (\varphi^4 - \psi^4) \right). \end{aligned} \quad (3.4)$$

Решение системы (3.2)–(3.4) будем искать в виде степенных рядов по малому параметру ε :

$$\varphi(t) = \varphi_0(t) + \varepsilon \varphi_1(t) + \varepsilon^2 \varphi_2(t) + \dots, \quad (3.5)$$

$$\psi(t) = \psi_0(t) + \varepsilon \psi_1(t) + \varepsilon^2 \psi_2(t) + \dots, \quad (3.6)$$

$$r(t) = r_0(t) + \varepsilon r_1(t) + \varepsilon^2 r_2(t) + \dots \quad (3.7)$$

Функции $\varphi_0(t)$, $\psi_0(t)$ в разложениях (3.5), (3.6) представляют собой решения уравнений (3.2), (3.3) при $\varepsilon = 0$ и без ограничения общности рассуждений могут быть представлены в виде

$$\varphi_0(t) = \cos(\omega_1 t), \quad \psi_0(t) = \cos(\omega_2 t + \alpha), \quad (3.8)$$

где начальная фаза переменной $\varphi_0(t)$ равна нулю, а постоянная α определяет разность фаз колебаний маятников в момент времени $t = 0$. Амплитуды колебаний в (3.8) одинаковы, что обеспечивает равенство нулю постоянной составляющей функции в правой части уравнения (3.4) и не приводит к появлению линейной или квадратичной за-

висимости от времени функции $r_0(t)$ в (3.7), которая является решением уравнения (3.4) при $\varepsilon = 0$. Напомним, что интересующее нас решение (3.7) описывает малые колебания длины $r(t)$ около равновесного значения $r = 1$, а амплитуды колебаний переменных $\varphi(t)$ и $\psi(t)$ определяются параметром ε (см. (3.1)).

Частоты колебаний ω_1, ω_2 также можем представить в виде степенных рядов по ε :

$$\begin{aligned} \omega_1 &= \omega_{10} + \varepsilon\omega_{11} + \varepsilon^2\omega_{12} + \dots, \\ \omega_2 &= \omega_{20} + \varepsilon\omega_{21} + \varepsilon^2\omega_{22} + \dots \end{aligned} \quad (3.9)$$

где частоты гармонических колебаний $\omega_{10} = 1, \omega_{20} = 1/\sqrt{k-1}$ определяются уравнениями (3.2), (3.3) при $\varepsilon = 0$. Коэффициенты $\omega_{11}, \omega_{21}, \omega_{12}, \omega_{22}, \dots$ в разложениях (3.9) будут определяться из условия, что в правой части уравнений (3.2) и (3.3) отсутствуют резонансные члены, пропорциональные $\cos(\omega_1 t), \sin(\omega_1 t)$ и $\cos(\omega_2 t), \sin(\omega_2 t)$ соответственно, которые приводят к неограниченному возрастанию амплитуды колебаний (см. [17, 18]). Поскольку левые стороны уравнений (3.2), (3.3) должны обращаться строго в нуль при подстановке в них функций вида (3.8) с точными значениями частот (3.9), эти уравнения перепишем в эквивалентном виде

$$\begin{aligned} \ddot{\varphi} + \omega_1^2 \varphi &= (\omega_1^2 - 1)\varphi - \\ &- \varepsilon \left(r\dot{\varphi} + 2\dot{r}\varphi - \frac{1}{6}\varphi^3 \right) - \frac{\varepsilon^2}{120}\varphi^5, \end{aligned} \quad (3.10)$$

$$\begin{aligned} \ddot{\psi} + \omega_2^2 \psi &= \left(\omega_2^2 - \frac{1}{k-1} \right) \psi + \\ &+ \frac{\varepsilon}{k-1} \left(r\dot{\psi} + 2\dot{r}\psi + \frac{1}{6}\psi^3 \right) - \frac{\varepsilon^2}{120(k-1)}\psi^5. \end{aligned} \quad (3.11)$$

Полученная в результате система уравнений (3.4), (3.10), (3.11) записана в форме, удобной для вычисления неизвестных функций $r_k(t), \varphi_k(t), \psi_k(t)$ в разложениях (3.5)–(3.7). Соответствующий алгоритм символьных вычислений в данной работе реализуется с помощью системы компьютерной алгебры *Wolfram Mathematica* [16]. Сначала определяем правила замены вида

$$\begin{aligned} rul1 &= \{r \rightarrow (r_0[\#] + \varepsilon r_1[\#] + \varepsilon^2 r_2[\#])\&\}, \\ \varphi &\rightarrow (\varphi_0[\#] + \varepsilon \varphi_1[\#] + \varepsilon^2 \varphi_2[\#])\&\}; \\ \psi &\rightarrow (\psi_0[\#] + \varepsilon \psi_1[\#] + \varepsilon^2 \psi_2[\#])\&\}; \end{aligned}$$

и выполняем подстановку выражений (3.5)–(3.7) в уравнения (3.4), (3.10), (3.11). Отметим, что использование анонимных функций (pure functions)

в правилах замены приводит к автоматическому вычислению всех производных в уравнениях движения. Кроме того, в правой части каждого уравнения выполняем подстановку

$$\begin{aligned} rul2 &= \left\{ \omega_1 \rightarrow (1 + \varepsilon\omega_{11} + \varepsilon^2\omega_{12}), \right. \\ &\left. \omega_2 \rightarrow \frac{1}{\sqrt{k-1}}(1 + \varepsilon\omega_{21} + \varepsilon^2\omega_{22}) \right\}. \end{aligned}$$

Далее в каждом из полученных уравнений разлагаем левую и правую части в степенные ряды по параметру ε с помощью функции *Series*. Для выполнения разложений с точностью до второго порядка, например, достаточно к каждому уравнению применить функцию

$$Series[\#, \{\varepsilon, 0, 2\}]\&\&.$$

Встроенная функция *Coefficient[eq, \varepsilon, k]* позволяет выделить в выражении *eq* коэффициент при $\varepsilon^k, k = 0, 1, 2, \dots$

Выполняя описанные выше символьные вычисления и приравнивая коэффициенты при одинаковых степенях параметра ε в левой и правой части каждого уравнения (3.4), (3.10), (3.11), получаем следующую систему дифференциальных уравнений:

$$\ddot{\varphi}_0 + \omega_1^2 \varphi_0 = 0, \quad (3.12)$$

$$\ddot{\psi}_0 + \omega_2^2 \psi_0 = 0, \quad (3.13)$$

$$\ddot{r}_0 = \frac{1}{4}(\psi_0^2 - \varphi_0^2) + \frac{1}{2}\dot{\varphi}_0^2 - \frac{1}{2}(k-1)\dot{\psi}_0^2, \quad (3.14)$$

$$\ddot{\varphi}_1 + \omega_1^2 \varphi_1 = -r_0\dot{\varphi}_0 - 2\dot{r}_0\varphi_0 + 2\omega_{11}\varphi_0 + \frac{1}{6}\varphi_0^3, \quad (3.15)$$

$$\begin{aligned} \ddot{\psi}_1 + \omega_2^2 \psi_1 &= \\ &= \frac{1}{k-1} \left(r_0\dot{\psi}_0 + 2\dot{r}_0\psi_0 + 2\omega_{21}\psi_0 + \frac{1}{6}\psi_0^3 \right), \end{aligned} \quad (3.16)$$

$$\begin{aligned} \ddot{r}_1 &= -\frac{1}{2}\varphi_0\varphi_1 + \frac{1}{2}\psi_0\psi_1 + \dot{\varphi}_0\dot{\varphi}_1 - (k-1)\dot{\psi}_0\dot{\psi}_1 + \\ &+ \frac{1}{2}r_0(\dot{\varphi}_0^2 + \dot{\psi}_0^2) + \frac{1}{48}(\varphi_0^4 - \psi_0^4), \end{aligned} \quad (3.17)$$

$$\begin{aligned} \ddot{\varphi}_2 + \omega_1^2 \varphi_2 &= -r_0\ddot{\varphi}_1 - r_1\ddot{\varphi}_0 - 2\dot{r}_0\dot{\varphi}_1 - 2\dot{r}_1\dot{\varphi}_0 + \\ &+ \omega_{11}^2\varphi_0 + 2\omega_{12}\varphi_0 + 2\omega_{11}\varphi_1 + \frac{1}{2}\varphi_0^2\varphi_1 - \frac{1}{120}\varphi_0^5, \end{aligned} \quad (3.18)$$

$$\ddot{\psi}_2 + \omega_2^2 \psi_2 = \frac{1}{k-1} \left(r_0 \ddot{\psi}_1 + r_1 \ddot{\psi}_0 + 2(\dot{r}_0 \dot{\psi}_1 + \dot{r}_1 \dot{\psi}_0) + 2(\omega_{22} \psi_0 + \omega_{21} \psi_1) + \omega_{21}^2 \psi_0 + \frac{1}{2} \psi_0^2 \psi_1 - \frac{1}{120} \psi_0^5 \right), \quad (3.19)$$

$$\begin{aligned} \ddot{r}_2 = & \frac{1}{4}(\psi_1^2 - \phi_1^2) - \frac{1}{2}(\phi_0 \phi_2 - \psi_0 \psi_2) + \\ & + \frac{1}{2} r_1 (\phi_0^2 + \psi_0^2) + r_0 (\phi_0 \phi_1 + \psi_0 \psi_1) + \phi_0 \phi_2 + \\ & + \frac{1}{2} (\phi_1^2 - (k-1) \psi_1^2) - (k-1) \psi_0 \psi_2 + \\ & + \frac{1}{12} (\phi_0^3 \phi_1 - \psi_0^3 \psi_1), \dots \end{aligned} \quad (3.20)$$

Далее предполагаем, что функции $\phi_k(t)$, $k = 1, 2, \dots$ удовлетворяют нулевым начальным условиям $\phi_k(0) = 0$, $\dot{\phi}_k(0) = 0$, и будем искать такие решения уравнений (3.14)–(3.20), которые описывают малые колебания функций $\phi_k(t)$, $\psi_k(t)$, $r_k(t)$.

Очевидно, функции (3.8) являются решениями уравнений (3.12), (3.13), а их подстановка в (3.14) и замена произведений тригонометрических функций на сумму тригонометрических функций от кратных аргументов с помощью встроенной функции *TrigReduce* системы *Mathematica* приводит к дифференциальному уравнению

$$\ddot{r}_0 = -\frac{3}{8} \cos(2\omega_1 t) + \frac{3}{8} \cos(2\omega_2 t + 2\alpha). \quad (3.21)$$

Отметим, что выбор одинаковых амплитуд переменных $\phi_0(t)$, $\psi_0(t)$ в (3.8) обеспечивает обнуление постоянной составляющей функции в правой части (3.21) и позволяет найти частное решение дифференциального уравнения (3.21) в виде осциллирующих функций. Для получения такого решения достаточно дважды проинтегрировать правую часть уравнения (3.21) с помощью встроенной функции *Integrate[# , t, t] &*. В результате находим

$$r_0 = \frac{3}{32\omega_1^2} \cos(2\omega_1 t) - \frac{3}{32\omega_2^2} \cos(2\omega_2 t + 2\alpha). \quad (3.22)$$

Далее подставляем решение (3.22) в уравнение (3.15) и, преобразуя его правую часть в линейную комбинацию тригонометрических функций с помощью функции *TrigReduce*, получаем

$$\begin{aligned} \ddot{\phi}_1 + \omega_1^2 \phi_1 = & \left(2\omega_{11} - \frac{1}{64} \right) \cos(\omega_1 t) + \frac{53}{192} \cos(3\omega_1 t) + \\ & - \left(\frac{3(k-1)}{64} - \frac{3\sqrt{k-1}}{16} \right) \cos((2\omega_2 - \omega_1)t + 2\alpha) - \end{aligned} \quad (3.23)$$

$$- \left(\frac{3(k-1)}{64} + \frac{3\sqrt{k-1}}{16} \right) \cos((2\omega_2 + \omega_1)t + 2\alpha).$$

Аналогичным образом приводим уравнение (3.16) к виду

$$\begin{aligned} \ddot{\psi}_1 + \omega_2^2 \psi_1 = & \frac{2}{k-1} \left(\omega_{21} - \frac{1}{128} \right) \cos(\omega_2 t + \alpha) - \\ & - \left(\frac{3}{64(k-1)^2} - \frac{3}{16(k-1)^{3/2}} \right) \cos((\omega_2 - \\ & - 2\omega_1)t + \alpha) - \left(\frac{3}{64(k-1)^2} + \frac{3}{16(k-1)^{3/2}} \right) \times \\ & \times \cos((\omega_2 + 2\omega_1)t + \alpha) + \\ & + \frac{53}{192(k-1)} \cos(3\omega_2 t + 3\alpha). \end{aligned} \quad (3.24)$$

Дифференциальные уравнения (3.23), (3.24) описывают вынужденные колебания переменных $\phi_1(t)$, $\psi_1(t)$ и их решения будут ограниченными осциллирующими функциями только при условии, что правые части этих уравнений не содержат резонансных членов (см. [17–19]).

Далее рассмотрим специальный случай одинаковых частот $\omega_1 = \omega_2$, что возможно при условии $L = 2R_0$ или $k = 2$, и выделим резонансные члены в правой части (3.23):

$$\left(2\omega_{11} - \frac{1}{64} \right) \cos(\omega_1 t) + \frac{9}{64} \cos(\omega_1 t + 2\alpha).$$

Легко видеть, что существуют только четыре значения начальной фазы α , при которых сумма двух колебаний одинаковой частоты обращается в нуль. Если $\alpha = 0$ или $\alpha = \pi$, то резонансные члены исчезают при $\omega_{11} = -\frac{1}{16}$. В этом случае уравнение (3.23) принимает вид

$$\ddot{\phi}_1 + \omega_1^2 \phi_1 = \frac{1}{24} \cos(3\omega_1 t), \quad (3.25)$$

а его решение, удовлетворяющее начальным условиям $\phi_1(0) = \dot{\phi}_1(0) = 0$, легко вычисляется с помощью встроенной функции *DSolve*

$$\phi_1(t) = \frac{1}{192\omega_1^2} (\cos(\omega_1 t) - \cos(3\omega_1 t)). \quad (3.26)$$

Если же $\alpha = \pm\pi/2$, то условие обнуления резонансных членов в (3.23) дает $\omega_{11} = \frac{5}{64}$, а соответствующее решение уравнения (3.23) имеет вид

$$\phi_1(t) = \frac{49}{768\omega_1^2} (\cos(\omega_1 t) - \cos(3\omega_1 t)). \quad (3.27)$$

Условие обнуления резонансных членов в уравнении (3.24) приводит к таким же результатам $\omega_{21} = -\frac{1}{16} = \omega_{11}$ или $\omega_{21} = \frac{5}{64} = \omega_{11}$, что естественно ожидать, так как частоты колебаний предполагаются одинаковыми ($\omega_1 = \omega_2$). При $\alpha = 0$ решения уравнений (3.23) и (3.24) совпадают и имеют вид (3.26), а при $\alpha = \pi$ знак функции $\psi_1(t)$ изменяется на противоположный ($\psi_1(t) = -\varphi_1(t)$). Заметим, что при $\omega_1 = \omega_2$ функции $\varphi_0(t)$ и $\psi_0(t)$ в (3.8) также совпадают при $\alpha = 0$ и имеют противоположные знаки при $\alpha = \pi$. В обоих случаях подстановка найденных функций $\varphi_1(t)$ и $\psi_1(t)$ в (3.17) с учетом (3.8) приводит к обнулению правой части, что дает решение $r_1(t) = 0$. Поскольку $r_0(t) = 0$ при $\omega_1 = \omega_2$ (см. (3.22)), то можно утверждать, что с точностью до членов порядка $O(\epsilon^2)$ включительно длина обоих маятников остается постоянной $r(t) = 1$, а сами маятники совершают колебания с одинаковыми частотами и амплитудами синфазно ($\varphi(t) = \psi(t)$) или в противофазе ($\varphi(t) = -\psi(t)$).

При $\omega_{11} = \omega_{21} = \frac{5}{64}$ решение уравнения (3.23) имеет вид (3.27) при обоих значениях начальной фазы $\alpha = \pm\pi/2$, а решения уравнения (3.24), удовлетворяющие начальному условию $\psi_1(0) = 0$, запишем в виде

$$\psi_1(t) = C_1 \sin(\omega_1 t) \pm \frac{49}{768\omega_1^2} \cos(3\omega_1 t). \quad (3.28)$$

Поскольку при решении уравнения (3.24) начальное значение производной $\dot{\psi}_1(0)$ не задано, решение (3.28) содержит постоянную C_1 , которая далее будет найдена при решении уравнения (3.17).

Действительно, при подстановке функций (3.27), (3.28) в уравнение (3.17) получаем

$$\ddot{\eta}_i = \frac{49}{3072} \pm \frac{C_1}{4} + \left(\pm \frac{3}{4} C_1 - \frac{175}{1024} \right) \cos(2\omega_1 t). \quad (3.29)$$

При условии $C_1 = \mp 47/768$ постоянная составляющая функции в правой части (3.29) обнуляется, что приводит к осциллирующему частому решению

$$r_1(t) = \frac{7}{128\omega_1^2} \cos(2\omega_1 t). \quad (3.30)$$

Вычисления в более высоких порядках по ϵ выполняются аналогичным образом с применением встроенных функций системы *Mathematica*, таких как *Expand*, *TrigExpand*, *Collect*, *Coefficient*, *D*, *Integrate*, *Series*, *Normal*, *DSolve*. Так, подстановка найденных выше функций в (3.18) при $\alpha = 0$ приводит к уравнению

$$\ddot{\varphi}_2 + \omega_1^2 \varphi_2 = \left(2\omega_{12} - \frac{1}{1536} \right) \cos(\omega_1 t) - \frac{1}{384} \cos(3\omega_1 t) - \frac{3}{2560} \cos(5\omega_1 t). \quad (3.31)$$

Условие отсутствия резонансных членов, пропорциональных $\cos(\omega_1 t)$, дает $\omega_{12} = 1/3072$, а решение уравнения (3.31), удовлетворяющее начальным условиям $\varphi_2(0) = \dot{\varphi}_2(0) = 0$, получается в виде

$$\varphi_2(t) = -\frac{23}{61440} \cos(\omega_1 t) + \frac{1}{3072} \cos(3\omega_1 t) + \frac{1}{20480} \cos(5\omega_1 t). \quad (3.32)$$

Анализ уравнения (3.19) дает $\omega_{22} = 1/3072 = \omega_{12}$, а вычисление функции $\psi_2(t)$ приводит к результату $\psi_2(t) = \varphi_2(t)$ при $\alpha = 0$ и $\psi_2(t) = -\varphi_2(t)$ при $\alpha = \pi$. Далее из уравнения (3.20) находим $r_2(t) = 0$.

Описанный процесс последовательного решения дифференциальных уравнений, которые получаются путем приравнивания коэффициентов при одинаковых степенях параметра ϵ в левой и правой части каждого из уравнений (3.4), (3.10), (3.11), можно продолжить и вычислить решения (3.5)–(3.7) и частоты (3.9) с требуемой точностью, хотя в более высоких порядках такие вычисления становятся все более громоздкими. Например, с точностью до третьего порядка по ϵ находим

$$\varphi(t) = \sqrt{\epsilon} \cos(\omega_1 t) + \frac{\epsilon^{3/2}}{192} (\cos(\omega_1 t) - \cos(3\omega_1 t)) + \frac{\epsilon^{5/2}}{61440} \times (17 \cos(\omega_1 t) - 20 \cos(3\omega_1 t) + 3 \cos(5\omega_1 t)), \quad (3.33)$$

$$\omega_1 = \omega_2 = 1 - \frac{\epsilon}{16} + \frac{\epsilon^2}{3072} - \frac{23\epsilon^3}{737280}. \quad (3.34)$$

При этом длины маятников одинаковы и не изменяются $r(t) = 1 = k - r(t)$, а колебания маятников происходят синфазно ($\psi(t) = \varphi(t)$) или в противофазе ($\psi(t) = -\varphi(t)$).

Следует отметить, что при $\psi(t) = \varphi(t)$ или $\psi(t) = -\varphi(t)$ правая часть точного уравнения движения (2.8) обращается в нуль и при начальных условиях $r(0) = 1$, $\dot{r}(0) = 0$ его точным решением есть постоянная функция $r(t) = 1$. При этом уравнения (2.6), (2.7) являются независимыми и сводятся к (2.9). Таким образом, выражение (3.33) определяет приближенное решение нелинейного дифференциального уравнения колебаний математического маятника (2.9). Соответственно, разложение (3.34) дает приближенное выражение для частоты нелинейных колебаний маятника, которая является функцией амплитуды колебаний, и совпадает с соответствующим разложением точного выра-

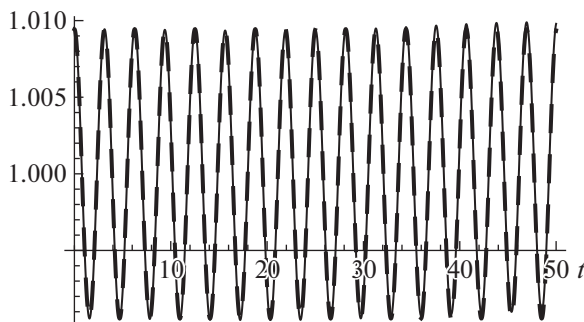


Рис. 2. Сравнение аналитического и численного решений $r(t)$ ($\varepsilon = 0.05$).

жения, выраженного через эллиптические функции Якоби (см. [17]).

Выбор начальной фазы $\alpha = \pi/2$ приводит к появлению зависимости функции $r(t)$ от времени, хотя вычисления функций $\varphi_k(t)$, $\psi_k(t)$, $r_k(t)$ во втором и более высоких порядках по ε производятся подобно случаю $\alpha = 0$. Так, подстановка выражений (3.8), (3.22), (3.27), (3.28), (3.30) в уравнения (3.18), (3.19) дает

$$\ddot{\varphi}_2 + \omega_1^2 \varphi_2 = \left(2\omega_{12} - \frac{1717}{24576}\right) \cos(\omega_1 t) + \frac{2335}{12288} \cos(3\omega_1 t) - \frac{5493}{40960} \cos(5\omega_1 t), \quad (3.35)$$

$$\ddot{\psi}_2 + \omega_1^2 \psi_2 = \left(-2\omega_{22} + \frac{1717}{24576}\right) \sin(\omega_1 t) + \frac{2335}{12288} \sin(3\omega_1 t) + \frac{5493}{40960} \sin(5\omega_1 t). \quad (3.36)$$

Из условия обнуления резонансных членов в правых частях уравнений (3.35), (3.36) получаем

$$\omega_{12} = \omega_{22} = \frac{1717}{49152}. \quad (3.37)$$

Решения уравнений (3.35), (3.36), удовлетворяющие начальным условиям $\varphi_2(0) = \dot{\varphi}_2(0) = 0$, $\psi_2(0) = \dot{\psi}_2(0) = 0$, легко вычисляются с помощью встроенной функции *DSolve*:

$$\varphi_2(t) = \frac{17857}{983040\omega_1^2} \cos(\omega_1 t) - \frac{2335}{98304\omega_1^2} \cos(3\omega_1 t) + \frac{1831}{327680\omega_1^2} \cos(5\omega_1 t), \quad (3.38)$$

$$\psi_2(t) = C_2 \sin(\omega_1 t) - \frac{2335}{98304\omega_1^2} \sin(3\omega_1 t) - \frac{1831}{327680\omega_1^2} \sin(5\omega_1 t). \quad (3.39)$$

Неизвестная постоянная C_2 в выражении (3.39) может быть найдена из уравнения (3.20). Действительно, подставляя полученные выше решения в уравнение (3.20), получаем

$$\ddot{i}_2 = \frac{17857}{3932160} + \frac{C_2}{4} + \left(\frac{3}{4}C_2 - \frac{139453}{1966080}\right) \cos(2\omega_1 t) - \frac{394633}{11796480} \cos(6\omega_1 t). \quad (3.40)$$

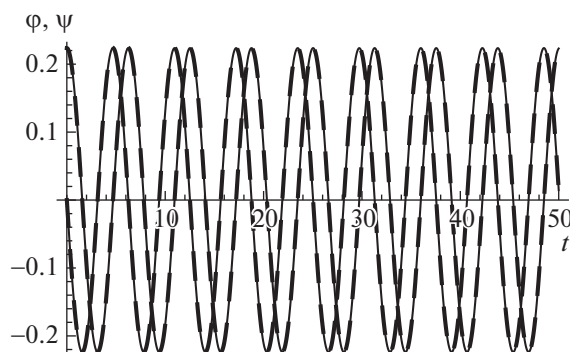


Рис. 3. Сравнение аналитического и численного решений $\varphi(t)$ и $\psi(t)$ ($\varepsilon = 0.05$).

Условие обнуления постоянной составляющей функции в правой части уравнения (3.40) дает

$$C_2 = -\frac{17857}{983040}. \quad (3.41)$$

Интегрируя дважды правую часть уравнения (3.40) с учетом (3.41), получаем

$$r_2(t) = \frac{332477}{15728640\omega_1^2} \cos(2\omega_1 t) + \frac{394633}{424623280\omega_1^2} \cos(6\omega_1 t). \quad (3.42)$$

Описанные вычисления можно продолжить и получить функции (3.5)–(3.7) с необходимой точностью, хотя вычисления становятся все более громоздкими и для их выполнения требуется применение систем компьютерной алгебры. Используя найденные решения, можно вычислить начальные значения функций $\varphi(0)$, $\psi(0)$, $r(0)$ и их производных $\dot{\varphi}(0)$, $\dot{\psi}(0)$, $\dot{r}(0)$ при выбранном значении параметра ε , а затем найти соответствующие численные решения уравнений движения (3.2)–(3.4) с помощью встроенной функции *NDSolve*. Визуализация найденных аналитических решений при $\varepsilon = 0.05$ (штриховые линии на рис. 2 и 3) демонстрирует хорошее совпадение с численными решениями (сплошные тонкие линии на рис. 2 и 3).

4. ЗАКЛЮЧЕНИЕ

В настоящей работе обсуждается проблема построения решений уравнений движения машины Атвуда с двумя колеблющимися грузами одинаковой массы, которые описывают состояние динамического равновесия системы. Показано, что при одинаковых амплитудах и частотах колебаний система может находиться в равновесии, если оба маятника имеют одинаковую длину $r(t) = 1$ и совершают синфазные колебания или колеблются в противофазе. Существование такого равновесного состояния соответствует нашим ожиданиям, так как система обладает симметрией и оба груза в каждый момент времени действуют на нить с одинаковыми силами. Эта симметрия нарушается при сдвиге фаз $\alpha = \pm\pi/2$ и, хотя в среднем действия обоих грузов на нить уравновешиваются, в каждый момент времени действие на нить одного из грузов оказывается большим. В результате длина каждого из маятников совершает малые колебания около равновесного значения $r = 1$, причем частота этих колебаний равняется удвоенной частоте колебаний угловых переменных $\varphi(t)$ и $\psi(t)$ и зависит от амплитуды. Соответствующие решения уравнений движения найдены в виде

степенных рядов по малому параметру ε , который определяет амплитуды колебаний. Последовательно описаны символьные вычисления, необходимые для определения коэффициентов этих рядов, а сами функции найдены с точностью до второго порядка по ε включительно. Сравнение найденного аналитического решения с численным решением уравнений движения показало справедливость полученных теоретических результатов.

Отметим также, что в данной работе все вычисления и визуализация результатов выполнены с использованием системы компьютерной алгебры *Wolfram Mathematica*.

СПИСОК ЛИТЕРАТУРЫ

1. *Atwood G.* A Treatise on the Rectilinear Motion and Rotation of Bodies. Cambridge University Press, 1784.
2. *Tuffillaro N.B., Abbott T.A., Griffiths D.J.* Swinging Atwood's machine // *American Journal of Physics*. 1984. V. 52 (3.1). P. 895–903.
3. *Tuffillaro N.B.* Motions of a swinging Atwood's machine // *J. Physique*. 1985. V. 46. P. 1495–1500.
4. *Tuffillaro N.B.* Integrable motion of a swinging Atwood's machine // *Amer. J. Phys.* 1986. V. 54. P. 142–143.
5. *Casasayas J., Nunes T.A., Tuffillaro N.B.* Swinging Atwood's machine: integrability and dynamics // *J. Physique*. 1990. V. 51. P. 1693–1702.
6. *Yehia H.M.* On the integrability of the motion of a heavy particle on a tilted cone and the swinging Atwood's machine // *Mech. R. Comm.* 2006. V. 33 (25). P. 711–716.
7. *Pujol O., Pérez J.P., Ramis J.P., Simo C., Simon S., Weil J.A.* Swinging Atwood machine: Experimental and numerical results, and a theoretical study // *Physica D*. 2010. V. 239 (12). P. 1067–1081.
8. *Prokopenya A.N.* Motion of a swinging Atwood's machine: simulation and analysis with Mathematica // *Mathematics in Computer Science*. 2017. V. 11(3–4). P. 417–425.
9. *Прокопеня А.Н.* Построение периодического решения уравнений движения обобщенной машины Атвуда с применением компьютерной алгебры // *Программирование*. 2020. Т. 46 (2). С. 53–59.
10. *Prokopenya A.N.* Modelling Atwood's Machine with Three Degrees of Freedom // *Mathematics in Computer Science*. 2019. V. 13 (1–2). P. 247–257.
11. *Абрамов С.А., Зима Е.Б., Ростовцев В.А.* Компьютерная алгебра // *Программирование*. 1992. № 5. С. 4–25.
12. *Васильев Н.Н., Еднерал В.Ф.* Компьютерная алгебра в физических и математических приложениях // *Программирование*. 1994. № 1. С. 70–82.
13. *Прокопеня А.Н.* Некоторые алгоритмы символьных вычислений в исследованиях проблем космиче-

- ской динамики // Программирование. 2006. Т. 32 (2.2). С. 16–22.
14. *Прокопеня А.Н.* Символьные вычисления в исследованиях устойчивости решений линейных систем дифференциальных уравнений с периодическими коэффициентами // Программирование. 2007. Т. 33 (2.2). С. 9–16.
15. *Прокопеня А.Н.* Нормализация гамильтониана в ограниченной задаче многих тел методами компьютерной алгебры // Программирование. 2012. Т. 38 (3). С. 65–78.
16. *Wolfram S.* An elementary introduction to the Wolfram Language, 2nd ed. Champaign, IL, USA, Wolfram Media, 2017.
17. *Маркеев А.П.* Теоретическая механика. Ижевск: НИЦ "Регулярная и хаотическая динамика", 2001. 592 с.
18. *Ландау Л.Д., Лифшиц Е.М.* Механика. 4-е изд. М.: Наука, 1988, 216 с.
19. *Nayfeh A.H.* Introduction to Perturbation Techniques. New York: John Wiley & Sons, 1981. 519 p.